

# 人工リーフ被覆材の被害発生機構についての実験的考察

岡本俊策\*・河野茂樹\*

## 1. まえがき

消波機能を持ち、景観を損なうことのない人工リーフは全国において計画・施工が進められている。人工リーフの設計に関しては、建設省において「人工リーフ設計の手引き」がまとめられており、その他にも被覆材の安定性と作用波力の関係、リーフによる消波特性、波高伝達率及び反射率、リーフ背後の水位上昇量等についても種々の研究がなされている(浅川ら, 1992; 泉宮ら, 1992; 岩田ら, 1992; 片野ら, 1992)。しかし、実際の設計・施工においては、現場の条件が複雑なため、最適な断面や配置を行うことには多くの問題が残されている。特に、人工リーフの安全性を考える場合、実際に発生した被害状況の明確な分析が必要と思われる。そこで本研究においては、人工リーフの一層被覆ブロックの被災状況を観測するため、不規則波による安定及び波力実験を行い、被害発生状況やその時の碎波形態等を考察することで、より効果的で経済的な被覆方法やブロック形状を提案するための一助とする。

## 2. 安定実験

### 2.1 実験内容

人工リーフ被覆材の断面条件の違いによる被害発生状況を観測し、所要重量を算定するために、安定実験を行った。

実験は技研興業(株)総合技術研究所の2次元造波水路(長さ50m, 幅1m, 深さ1.6m)を用いて行った。実験縮尺は1/41とし、図-1に示すコンクリートブロック(現地換算8ton)を被覆材として用いる。人工リーフは海底勾配1/30の固定床に設置し、前面法勾配1/3, 天端幅60m(現地換算)とする(図-2参照)。使用する不規則波の有義周期 $T_{1/3}$ は14秒(現地換算)とする。

断面条件は既設人工リーフの設計条件等を参考にして、

冲波波高  $H_0' \leq 12$  m

天端水深  $R = 1, 2, 3, 4, 5$  m

設置水深  $h = 5, 7.5, 10, 12.5, 15$  m

の中から、適宜選ぶものとした。

各断面において、1ストーム(300波)を作用させ、被覆ブロックの被害状況や碎波状態を観測し、作用後には以下に示す被害基準で被害率を算定した。 $H_0'$ は適当と思われる値から1m(現地換算)ずつ上昇させていく、以下に示す実験終了条件を満足させた時にその断面での実験を終了とする。

#### ① ブロック単体の被害定義

次の2種類で定義する。

④ブロックが元の位置から浮き上がり、その一部が周辺のブロックに乗り上げるか、完全に脱落して移動したもの

⑤ブロックが元の位置からブロック長L方向に1/2L以上、又はブロック幅B方向に1/2B以上移動したもの。

#### ② ブロック全体個数の定義

次に示す人工リーフ天端部と法面部の合計値とする。

⑥天端部：法肩からの天端幅 $5H_0'$ の範囲に含まれ、水路両端のブロック個数を差し引いたもの

⑦法面部：法肩から法先までの範囲で、水路両端の

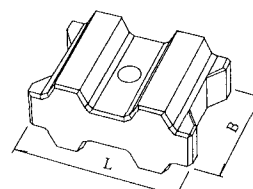


図-1 被覆ブロック

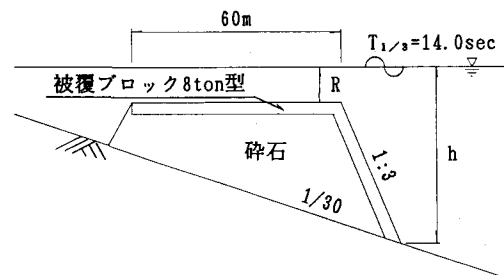


図-2 人工リーフ断面図

表-1 安定実験結果

No.	$H_0'(m)$	$h(m)$	$R(m)$	被害率(%)	No.	$H_0'(m)$	$h(m)$	$R(m)$	被害率(%)	No.	$H_0'(m)$	$h(m)$	$R(m)$	被害率(%)
1	3.0	15.0	1.0	0.0	6	7.0	12.5	5.0	0.4	11	3.0	7.5	1.0	0.0
	5.0	〃	〃	0.9		8.0	〃	〃	1.3		4.0	〃	〃	0.3
	6.0	〃	〃	6.9		9.0	〃	〃	5.7		5.0	〃	〃	0.8
2	5.0	15.0	3.0	0.0	7	4.0	10.0	1.0	0.0	12	6.0	〃	〃	1.7
	6.0	〃	〃	0.4		5.0	〃	〃	1.4		7.0	〃	〃	1.1
	7.0	〃	〃	8.2		6.0	〃	〃	3.5		6.0	7.5	3.0	1.1
3	6.0	15.0	5.0	1.0	8	7.0	〃	〃	9.4	13	7.0	〃	〃	2.9
	7.0	〃	〃	2.9		5.0	10.0	3.0	0.8		8.0	〃	〃	2.0
	8.0	〃	〃	3.8		6.0	〃	〃	2.5		7.0	7.5	5.0	0.0
4	9.0	〃	〃	13.0	9	7.0	〃	〃	3.3	14	8.0	〃	〃	0.3
	4.0	12.5	1.0	0.0		8.0	〃	〃	7.5		9.0	〃	〃	1.4
	5.0	〃	〃	0.0		6.0	10.0	4.0	0.0		3.0	5.0	1.0	0.0
5	6.0	〃	〃	2.7	10	7.0	〃	〃	1.8	15	4.0	〃	〃	0.0
	7.0	〃	〃	7.2		8.0	〃	〃	3.1		5.0	〃	〃	0.0
	6.0	12.5	3.0	0.2		9.0	〃	〃	5.8		6.0	〃	〃	0.6
5	7.0	〃	〃	3.1		7.0	10.0	5.0	0.2		4.0	5.0	3.0	0.0
	8.0	〃	〃	7.4		8.0	〃	〃	1.7		5.0	〃	〃	0.0
						9.0	〃	〃	0.8		6.0	〃	〃	0.0

ブロック個数を差し引いたもの

### ③ 実験終了条件

沖波波高  $H_0'$  を順次上昇させた時に、

- ④ ブロック全体の被害率が 5 %以上になった場合
- ⑤ ブロック全体の被害率が 5 %を越える前に被害率が低下した場合
- ⑥ ブロック全体の被害率が 5 %を越える前に沖での碎波により人工リーフ前面での波高が低下した場合
- ⑦ その断面における実験を終了するものとする。

## 2.2 実験結果

実験結果を表-1に示す。実験を行った断面条件は表に示す 15 ケースである。この中で、 $h=15\text{ m}$  と  $12.5\text{ m}$  の各 3 ケースと  $h=10\text{ m}$ ,  $R=1, 3, 4\text{ m}$  の 3 ケースの計 9 ケースで被害率が 5 %以上となった。

これらの結果より、同じ  $h$  の断面では  $R$  が深い程大きな  $H_0'$  で被害率が 5 %を越しており、被害が発生しにくくなることが分かる。また、同じ  $R$  の断面では  $h$  が浅い程被害は発生しにくい。即ち、 $h$  が浅く  $R$  が深い断面条件の方が被害が発生しにくくなる傾向のあることが明らかである。

又、 $R$  が浅い場合の被害は法肩に集中するが、 $R$  が深くなると被害が天端岸側の方に広がるようになることが分かった。法肩でのブロックは、水平方向の流れにより岸冲方向に移動・転倒するが、天端岸側では碎波による

上下方向の流れで上方へ脱落することが多くなり、ブロック設置場所により被害状況が変化することが明らかとなつた。

## 2.3 考 察

### (a) 所要重量算定方法

人工リーフの設計では、断面条件の他に人工リーフ被覆材の所要重量を算定する必要がある。ここでは以下に示す建設省土木研究所の人工リーフ被覆材所用重量算定式を用いる場合を考える。

$$W = K_L \frac{\rho_s (R + \bar{\eta}_t)^3}{s^3 \cos^3 \phi} \quad (1)$$

$$K_L = S_n^3 f_u^3 K_V \quad (2)$$

ここで、 $W$ ：被覆材所要重量、 $\rho_s$ ：被覆材の密度、 $\rho_w$ ：海水の密度、 $s$ ：被覆材の水中重量( $=(\rho_s - \rho_w)/\rho_w$ )、 $\phi$ ：堤体表面上の最大流速発生地点の堤体表面と水平面のなす角、 $\bar{\eta}_t$ ：人工リーフ岸側での平均水位、 $f_u$ ：堤体表面の最大流速の無次元係数、 $K_V$ ：被覆材形状に関する係数、 $S_n$ ：安定係数である。この式を使用する場合、ブロック毎に  $K_V$  と  $S_n$  の値を決定する必要がある。 $K_V$  は次式で定義される（宇多ら、1990）。

$$V = K_V d_R^3 \quad (3)$$

ここで、 $V$ ：ブロック体積、 $d_R$ ：ブロック代表長さである。 $d_R$  はここでは次のように定義する。

$$d_R^3 = L B H \quad (4)$$

ここで、 $L$ ：ブロック長、 $B$ ：ブロック幅、 $H$ ：ブロック



の2ケースを選んだ。各々の断面では、被害率が5%を越えた時の $H_0'$ (ケース1では $H_0'=7\text{m}$ 、ケース2では $H_0'=9\text{m}$ )を用いるものとする。碎波形態は前述のように2種類あるので、実験波の中から巻き波と碎け寄せ波でブロックに動搖を与えるものを見により各々選び出した。ケース1では実験開始から2分51秒後に入射する波を波④(巻き波)、4分43秒後のものを波⑤(碎け寄せ波)とし、ケース2では1分43秒後の入射波を波④(巻き波)、2分51秒後のものを波⑤(碎け寄せ波)とする。

各々のケースでの測定位置において、各入射波によりブロックに加わる波力を3分計で計測するとともに、ブロック表面での流速を2次元電磁流速計で計測した。

### 3.2 実験結果

各波でのブロックに加わる水平方向力 $F_x$ 、鉛直方向力 $F_z$ の最大値を表-3に示す。水平方向では岸向きが正、鉛直方向では下向きが正である。表よりどのケースに置いても、ブロックには岸向きと上向きの最大波力が加わっており、ブロックが岸側へ移動・転倒あるいは上方へ脱落することと一致する。 $F_x$ と $F_z$ の比はブロック位置と天端水深によりほぼ一定であり、碎波形態の影響は小さい。 $R=4\text{m}$ の天端岸側が0.33~0.45で最も大きく、次は $R=1\text{m}$ の法肩の0.24~0.31であり、残りのケースは0.16~0.20の範囲にある。 $F_x$ と $F_z$ の値を見ると、全ケースを通して巻き波の方が碎け寄せ波より大きくなっていることから、ブロック被害を問題にする時には、巻き波碎波に注目すれば良い事が改めて分かる。

次に法肩と天端岸側を比べてみると、法肩の方が大きな波力が加わっており、ブロック位置としては法肩の方が危険である。ここで、法肩と天端岸側のブロックに加わる波力と水の動きを見るために、両者の違いが明確である $R=4\text{m}$ の場合の $F_x$ 、 $F_z$ と水平方向流速 $V_x$ 、鉛直方向流速 $V_z$ の時系列データを図-4に示す。流速の正負は波力と同じ向きである。図より、両位置ともに水平方

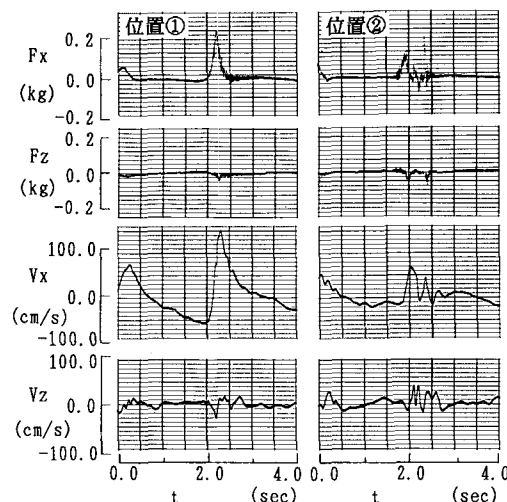


図-4 波力実験時系列データ ( $R=4\text{m}$ , 巷き波碎波)

向の波力と流速、鉛直方向の波力と流速がほぼ対応しており、波力と流れの関係が明らかである。法肩ではほぼ水平方向の流れを受けるため単純な波形であるのに対し、巻き波碎波後の流れを受ける天端岸側では、岸沖と上下の両方向に細かい振動が発生しており、力の向きが短時間で変化していることが分かる。

### 3.3 考察

ブロックに加わる力を抗力と慣性力に分けて考えると、ブロックが法肩で移動・転倒する場合は水平方向の流れによる抗力が卓越し、天端岸側で脱落する場合は碎波による上下方向の慣性力が卓越しているものと考えられる。

ここでブロック形状について考えると、水平方向の抗力に対するには、ブロック重心の低下、投影面積の減少、接地面增加による摩擦力増大等が必要になると思われる。鉛直方向の慣性力に対するには、水の鉛直方向の動きを妨げない構造やブロック同士の噛み合わせ等の検討も必要となる。この他にも、現場における施工性や経済性等の様々な条件を考慮することも必要である。

被覆ブロックに求められるこのような条件の中には、お互いに矛盾したものもあるため、ブロック形状や被覆方法を検討する場合、満たすべき条件をある程度絞り込む必要があると思われる。

## 4. まとめ

以上より主な結論をまとめると次のようになる。

① 図-1に示すブロックに関して、建設省土木研究所の人工リーフ被覆材所要重量算定式を用いる場合、形状係数 $K_V$ と安定係数 $S_n$ は図-3に示したもの用いるのが妥当である。

表-3 波力実験結果

No.	ブロック位置	対象波	$F_x$ 最大値 (kg)	$F_z$ 最大値 (kg)	$ F_z /F_x $
1	①	④	0.21	-0.05	0.24
		⑤	0.13	-0.04	0.31
	②	④	0.19	-0.03	0.16
		⑤	0.05	-0.01	0.20
2	①	④	0.24	-0.04	0.17
		⑤	0.11	-0.02	0.18
	②	④	0.11	-0.05	0.45
		⑤	0.06	-0.02	0.33

② 被覆ブロックの被害は主に法肩であるが、天端水深 $R$ が深くなると天端岸側へと被害範囲は広がる傾向がある。

③ 被覆ブロックにとっては、法肩で巻き波碎波となる入射波が被害発生に大きく影響する。

④ ブロックの被害は、法肩では沖から岸への移動・転倒となるが、天端岸側では碎波による振動により上方への脱落が多くなる。

### 参考文献

浅川 勉・佐藤弘和・口ノ町誠・野口正昭 (1992): 人工リーフ被覆材の安定性に関する研究, 海岸工学論文集, 第39卷, pp.

656-660.  
泉宮尊司・遠藤雅人 (1992): 潜堤および透過性構造物のある海浜における波動場解析, 海岸工学論文集, 第39卷, pp. 638-642.

岩田好一朗・水谷法美・Teofilo Monge Rufin Jr.・戸塚奈津子・倉田克彦 (1992): 作用波力を考慮した幅広潜堤の被覆材の所要重量算定手法に関する研究, 海岸工学論文集, 第39卷, pp. 661-665.

宇多高明・小俣 篤・斎藤友伸 (1990): 人口リーフ被覆材の所要重量算定方法, 土木研究所資料, 第2893号, 48 p.  
片野明良・村上信一郎・服部昌太郎 (1992): 幅広潜堤の消波特性の表示システム, 海岸工学論文集, 第39卷, pp. 646-650.  
建設省河川局海岸課監修 (1992): 人工リーフの設計の手引き, (社)全国海岸協会, 94 p.